

sand waves 成長過程における波形の変化について

大阪大学工学部 正 室田 明
大阪大学工学部 正〇多田博義
大阪大学工学部 学 平田健正

1. 実験水路の河床を平坦に保ちて通水すると、すく砂面の所々に河床波が発生し、徐々に水路全長にわたり波形が形成され、全体として成長し定常状態に至る。本研究はこのようないくつかの河床波の成長から定常状態に至る過程について、波形の集合特性がどのように変化するかを実験的に調べたものである。

実験水路は幅 50 cm, 長さ 20 m のアクリル樹脂製可変勾配のもので、 $d_{50} = 0.26 \text{ mm}$, $D = 0.09 \text{ mm}$ の砂を用いて実験を行なった。方法は、適当な通水時間の後、河床波を亂さないよう、水を止め、水路中央部にて河床縦断を point gage で 1 cm 間隔、960 点の測定を行なった。更に通水時間を加えて、定常状態に至るまで測定を行なった。それらの成長過程において下流端堰の操作により等流状態を維持した。実験 case と水理量は表-1 に示す。なお各実験 case における最初の測定は、水路全長にわたり、河床波の発生が見られたと思われる適当な時間に行なっている。

2. i. 分散：図-1 は通水時間と河床高さの平均値からの分散の関係を示したものである。時間とともに分散の増加が見られるが、立ちあがり時間の相異は河床のしり固め程度の差および掃流力の違い等による河床波発生機構によるものであると考えられる。一旦河床波が水路全体に発生すると全実験 case において、 $\sigma^2 / \log T = \text{const.} \approx 0.46 \text{ cm}^2/\text{min}$ の関係を保ちながら成長し定常状態に至る。パワースペクトルの一例を図-2 に示す。これより、分散の増加は低波数域のパワーの増加分のみが寄与し、高波数域では大体 -4.5 条の平衡領域が存在するようである。他の実験 case も全て同様の傾向を示している。

ii. 波高および波長：

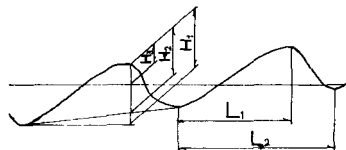


図-3 波高と波長の定義

表-1

	勾配 Q/cm ³ sec.	T _{min}	H cm	U _{comp}	R cm	Fr
I' 1/500 15.0	0	9.2	32.8	8.43	.346	
	10	9.8	30.8	9.05	.315	
	20	9.8	30.8	9.05	.315	
	40	9.9	30.5	9.16	.310	
	80	10.0	30.0	9.31	.303	
	160	10.0	30.0	9.31	.303	
II 1/500 12.5	0	8.5	29.4	7.93	.322	
	0	9.3	21.5	8.64	.225	
III 1/1000 10.0	60					
	120	10.3	19.4	9.67	.193	
	180	10.3	19.4	9.67	.193	
	240	10.3	19.4	9.67	.193	
	0	6.0	33.3	5.67	.434	
IV 1/300 10.0	10	5.8	34.9	5.41	.465	
	20	6.0	33.4	5.67	.434	
	40	6.0	33.4	5.67	.434	
	80	6.0	33.4	5.67	.434	
	160	6.0	33.4	5.67	.434	
	I	1/500 15.0	T = 15, 25, 45, 75 mm			

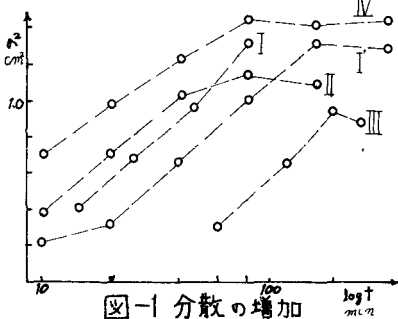


図-1 分散の増加

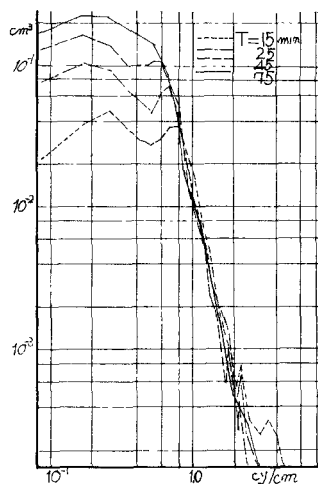


図-2 パワースペクトルの成長

河床波の不規則性や、小さい crest の判別が困難なことから、図-3の定義を採用し波形を判別し難いものは除きデータよりピックアップした。図-4 a, b, c, d は H_1, H_2, H_3 の分布図の一例を示す。 H_1, H_2 はともに河床波成長初期では正規分布に近いが、成長して行くと約 20% の所で折れ曲るような分布形状となる。この上側部分だけの分布は図-4 d に示すよう正規分布となるようである。 H_1 は H_2 に比較して小さな値となるが、これは大きな crest 背斜面上に束ねたような波形の多いことを示している。 H_3 は本実験法では正規分布に従がうと思われる。図-5 a, b, c は L_1, L_2, L_3 の分布図である。 L_1, L_2 はいずれも正規分布に従がう成長に従がって分布形が扇形に広がる。標準化すると一本の直線で表現できる。 L_3 は zero-crossing の波長であり Ray-Leigh 型分布を示すようである。

図-6 a, b はそれぞれ $H_1/L_1, H_2/L_2$ の分布形を示す。前者は上流側斜面勾配であり、成長に従がい急勾配のものが増加する傾向がある。定常状態を比較するといふればも同型の分布を示し 50% の値は 0.17 となる。後者は steepness で、本実験範囲では河床波成長期、定常状態にかかわりず等しい分布形を示す。等しい砂と河床形態の場合には、河床波は等しい分布形の steepness を保ちながら成長し定常状態に至ることが分かる。

それらの分布形間の関連および水理量との関係における成長過程と定常状態の比較は講演時に報告する予定である。

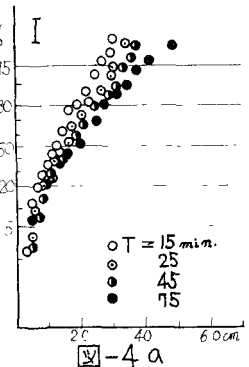


図-4 a

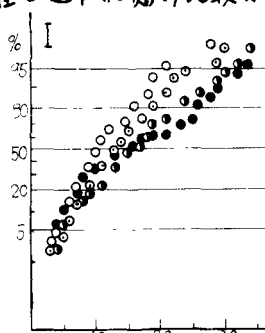


図-4 b

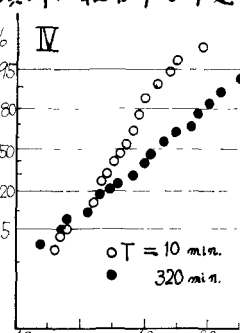


図-4 c

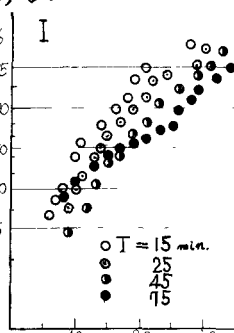


図-4 d

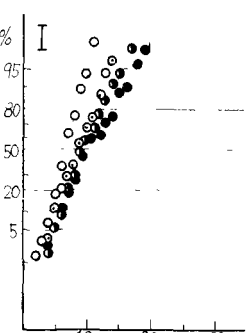


図-5 a

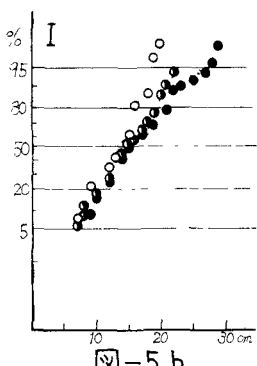


図-5 b

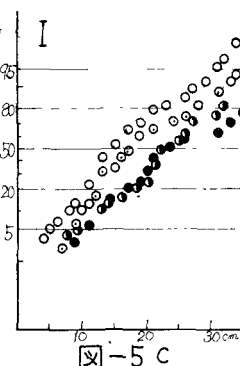


図-5 c

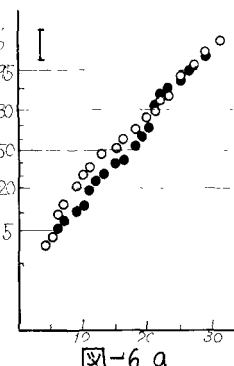


図-6 a

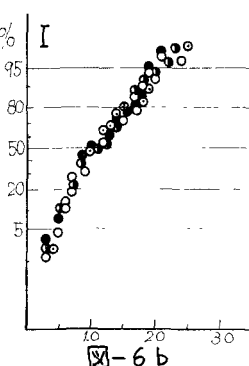


図-6 b